

Linhas de Transmissão

Rodrigo Augusto Valeretto
Engenharia Elétrica / Computação
Universidade de São Paulo
São Carlos, Brasil
rodrigovaleretto@usp.br

Leonardo Cerce Guioto
Engenharia Elétrica / Computação
Universidade de São Paulo
São Carlos, Brasil
leonardo.cerce@usp.br

João Pedro Borges de Castro
Engenharia Elétrica / Computação
Universidade de São Paulo
São Carlos, Brasil
joaocastro@usp.br

Abstract—Este documento é um relatório do primeiro projeto de Ondas Eletromagnéticas, cujo objetivo é implementar um modelo de visualização de tensão e corrente (transientes) em uma linha de transmissão sem perdas através do método das diferenças finitas no domínio do tempo.

Index Terms—dfdt, linhas de transmissão, transiente

I. INTRODUÇÃO

Transientes são estados intermediários de um circuito. Eles geralmente ocorrem quando:

- uma nova carga é conectada;
- um sinal não-periódico é injetado;
- o gerador é ligado.

Estes estados progridem pelo tempo até atingir a estabilidade, que é o chamado estado estacionário.

A. Equação do Telegrafista e Transientes

A partir de uma linha de transmissão (ver figura 2), pode-se explicitar as características elétricas dessa linha, permitindo assim determinar algumas equações importantes para o desenvolvimento do projeto.

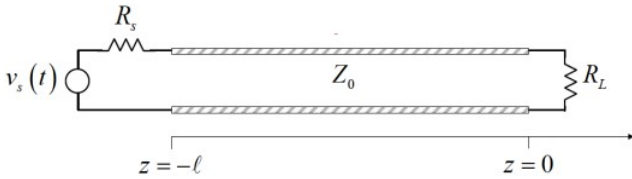


Fig. 1. Linha de transmissão.

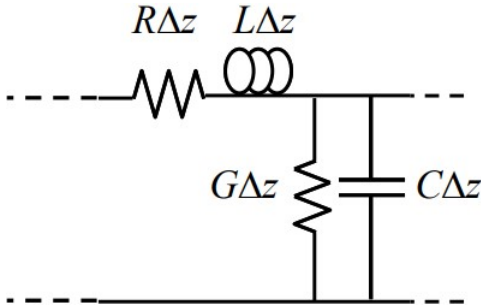


Fig. 2. Explicitação das características de um Δz da linha de transmissão.

$$-\frac{\partial v(z, t)}{\partial z} = Ri(z, t) + L \frac{\partial i(z, t)}{\partial t} \quad (1)$$

$$-\frac{\partial i(z, t)}{\partial z} = Gv(z, t) + C \frac{\partial v(z, t)}{\partial t} \quad (2)$$

As equações (1) e (2) são as chamadas equações do telegrafista, ou então equações fundamentais das linhas de transmissão.

Deriva-se (1) em relação à z e (2) em relação à t :

$$-\frac{\partial^2 v(z, t)}{\partial z^2} = R \frac{\partial i(z, t)}{\partial z} + L \frac{\partial^2 i(z, t)}{\partial t \partial z} \quad (3)$$

$$-\frac{\partial^2 i(z, t)}{\partial t \partial z} = G \frac{\partial v(z, t)}{\partial t} + C \frac{\partial^2 v(z, t)}{\partial t^2} \quad (4)$$

Substituindo (4) em (3):

$$-\frac{\partial^2 v(z, t)}{\partial z^2} = R \frac{\partial i(z, t)}{\partial z} - LG \frac{\partial v(z, t)}{\partial z} - LC \frac{\partial^2 v(z, t)}{\partial t^2} \quad (5)$$

Substituindo equações já conhecidas (1) e (2), e aplicando a condição de linha de transmissão sem perdas ($R = G = 0$):

$$\frac{\partial^2 v(z, t)}{\partial z^2} = LC \frac{\partial^2 v(z, t)}{\partial t^2} \quad (6)$$

$$\frac{\partial^2 i(z, t)}{\partial z^2} = LC \frac{\partial^2 i(z, t)}{\partial t^2} \quad (7)$$

Caso sistema atenda às equações (6) e (7), então ele pode ser utilizado para transportar informações na forma de ondas eletromagnéticas. A resolução dessas equações diferenciais mostra que temos propagação tanto para a direção positiva quanto negativa de z (para ambos v e i):

$$v(z, t) = v^+ \left(t - \frac{z}{v_f} \right) + v^- \left(t + \frac{z}{v_f} \right), v_f = \frac{1}{\sqrt{LC}} \quad (8)$$

Como a velocidade de propagação é finita, dada por v_f , a tensão e a corrente na linha de transmissão passam por estados transientes antes de atingir o estado estacionário.

Denotando v_s da figura (1) em notação fasorial como V_s e invertendo o sentido do sistema de coordenadas, deriva-se a figura (3).

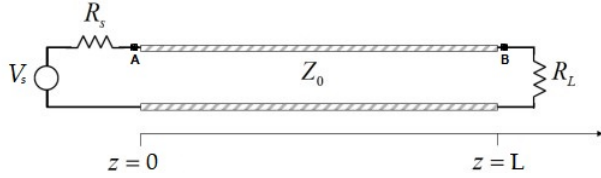


Fig. 3. Linha de transmissão para cálculo dos transientes.

É necessário, de início, definir algumas condições de contorno envolvendo os pontos A ($z = 0$) e B ($z = L$). Tem-se, em A:

$$V_s = V_A + R_s I_A \quad (9)$$

e em B:

$$V_B = R_L I_B \quad (10)$$

Alguns períodos de tempo são cruciais para entender a evolução dos transientes. São eles $t_1 = \frac{L}{v_f}$ (momento em que a onda alcança a carga e é refletida) e $t_2 = \frac{2L}{v_f}$ (momento em que a onda alcança a fonte e é refletida).

Além disso, da figura (3), temos R_s como a resistência interna da fonte de tensão, Z_0 como a impedância característica da linha de transmissão, R_L como a resistência da carga conectada nessa mesma linha e as tensões e correntes de propagação como V^+ , V^- , I^+ e I^- . Assim, em $0 \leq t \leq t_1$:

$$V_s = V^+ + R_s I^+ \quad (11)$$

mas,

$$I^+ = \frac{V^+}{Z_0} \quad (12)$$

Assim, substituindo (12) em (11) e resolvendo:

$$V^+ = \frac{Z_0}{R_s + Z_0} V_s \quad (13)$$

$$I^+ = \frac{1}{R_s + Z_0} V_s \quad (14)$$

Estas são tensão e corrente na linha antes da primeira reflexão. Para $t_1 \leq t \leq t_2$:

$$V^- = \Gamma_L V^+ \quad (15)$$

$$I^- = -\Gamma_L I^+ \quad (16)$$

onde

$$\Gamma_X = \frac{R_X - Z_0}{R_X + Z_0}, X \in \{s, L\} \quad (17)$$

A tensão e corrente após a primeira reflexão são, portanto:

$$V_{ref} = V^+ + V^- = V^+(1 + \Gamma_L) \quad (18)$$

$$I_{ref} = I^+ + I^- = I^+(1 - \Gamma_L) \quad (19)$$

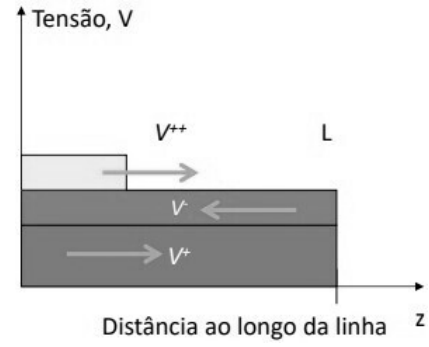


Fig. 4. Evolução dos transientes numa linha de transmissão.

Por fim, quando $t \rightarrow \infty$ (estado estacionário), tem-se:

$$V_{final} = \frac{R_L}{R_s + R_L} V_s \quad (20)$$

$$I_{final} = \frac{1}{R_s + R_L} V_s \quad (21)$$

B. Diferenças Finitas no Domínio do Tempo (DFDT)

O DFDT é um algoritmo de simulação que trabalha as derivadas como diferenças finitas. O sistema de equações, depois de ser simplificado, é continuamente incrementado de pequenos intervalos temporais, ultimamente calculando a solução do sistema do próximo Δt utilizando o resultado atual.

Inicialmente é necessário definir uma malha; ela determinará o conjunto finito de pontos que serão trabalhados pelo algoritmo. Considera-se z_k e t_n como os eixos. Assim:

$$z_k = k\Delta z \quad (22)$$

$$t_n = n\Delta t \quad (23)$$

com k e $n \in \mathbb{Z}$.

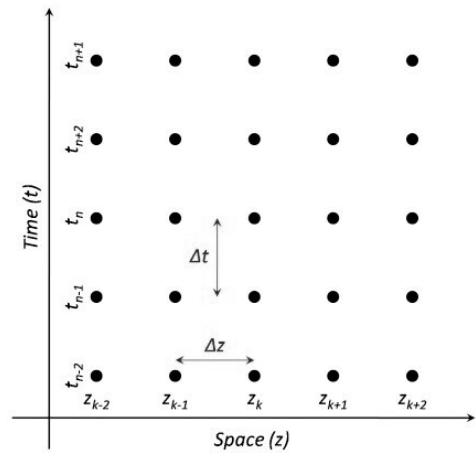


Fig. 5. Malha obtida a partir de (22) e (23).

Tendo a malha definida, o próximo passo é simplificar as equações diferenciais. Do Cálculo, tem-se que:

$$\frac{\partial v(z, t)}{\partial z} \approx \frac{v(z + \Delta z, t) - v(z - \Delta z, t)}{2\Delta z} \quad (24)$$

O mesmo pode ser escrito para a corrente. Reescrevendo $v(z_k, t_n)$ como v_k^n e aplicando as aproximações acima:

$$\frac{\partial}{\partial z} v_k^n \approx \frac{v_{k+1}^n - v_{k-1}^n}{2\Delta z} \quad (25)$$

$$\frac{\partial}{\partial t} i_k^n \approx \frac{i_k^{n+1} - i_k^{n-1}}{2\Delta t} \quad (26)$$

Embora essa relação já seja suficiente para a determinação das equações, é possível realizar uma melhoria. Definindo os pontos v_k^n da malha de forma que fiquem a uma distância de $0,5\Delta z$ (ou $0,5\Delta t$ no caso de i_k^n), a aproximação agora é dada por:

$$\frac{\partial}{\partial z} v_k^n \approx \frac{v_{k+0,5}^n - v_{k-0,5}^n}{\Delta z} \quad (27)$$

$$\frac{\partial}{\partial t} i_k^n \approx \frac{i_k^{n+0,5} - i_k^{n-0,5}}{\Delta t} \quad (28)$$

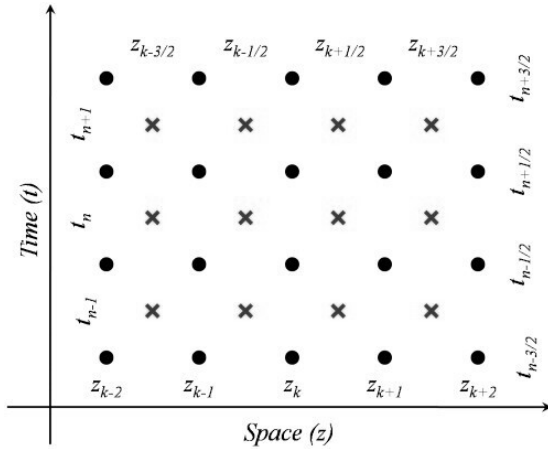


Fig. 6. Modelo final de malha a ser usada pelo algoritmo.

Essa otimização permite que o Δz ou Δt não sejam multiplicados por dois durante a aproximação, o que diminui o erro sem afetar o desempenho geral do algoritmo. Substituindo (27) e (28) em (1) e (2) e sabendo que para linhas de transmissão sem perdas $R = G = 0$:

$$-\frac{v_{k+0,5}^n - v_{k-0,5}^n}{\Delta z} = L \frac{i_k^{n+0,5} - i_k^{n-0,5}}{\Delta t} \quad (29)$$

$$-\frac{i_{k+1}^{n+0,5} - i_k^{n+0,5}}{\Delta z} = C \frac{v_{k+0,5}^{n+1} - v_{k+0,5}^n}{\Delta t} \quad (30)$$

Estas duas últimas equações são aproximações diretas das equações do telegrafista. Para determinar o próximo estado do sistema a partir dos atuais, isola-se os termos "futuros" (que, para (29), é $i_k^{n+0,5}$, e para (30) é $v_{k+0,5}^{n+1}$):

$$i_k^{n+0,5} = -\frac{\Delta t}{L\Delta z} (v_{k+0,5}^n - v_{k-0,5}^n) + i_k^{n-0,5} \quad (31)$$

$$v_{k+0,5}^{n+1} = -\frac{\Delta t}{C\Delta z} (i_{k+1}^{n+0,5} - i_k^{n+0,5}) + v_{k+0,5}^n \quad (32)$$

Com estas equações e a partir de uma condição inicial, é possível calcular os estados do sistema de forma iterativa. No entanto, certas configurações podem se mostrar instáveis. Por isso, é necessária uma relação entre Δz e Δt :

$$\Delta t \leq \frac{\Delta z}{v_f} \quad (33)$$

O limite superior de Δt é chamado de tempo crítico, a partir do qual o modelo se torna instável.

Por fim, para finalizar o algoritmo, basta definir algumas condições de contorno. Pode-se definir a condição como um curto-circuito ou então um circuito aberto. Em uma simulação com domínio de tamanho K , para a primeira situação, vale a seguinte igualdade:

$$v_{K+0,5}^{n+1} = 0 \quad (34)$$

Esta condição de contorno também é conhecida como *condição de Dirichlet*. Para a segunda:

$$v_{K+0,5}^{n+1} = v_{K-0,5}^{n+1} \quad (35)$$

Já esta segunda é chamada de *condição de Neumann*. Essas condições especiais são interessantes pois, além de serem simples de implementar, também estão relacionadas. Se, por exemplo, for escolhida a condição de *Neumann* para a tensão, a corrente seguirá a condição de *Dirichlet*, e vice-versa.

II. CÓDIGO

A. Linguagem de programação

A linguagem de programação utilizada no projeto foi a linguagem *Python*. Decidimos usar essa linguagem por ela ter inúmeras bibliotecas que podem ser importadas e utilizadas, dando-nos uma maior variedade de opções sobre como tratar o código e apresentar os resultados. Além disso, a velocidade de cálculo do *Python* foi bastante incrementada nos últimos tempos e os discentes possuíam maior afinidade com a linguagem.

B. Instalação do Python

1) *Python no Linux*: Se estiver em uma distribuição *Linux*, muito provavelmente a linguagem já está instalada no terminal e é possível simplesmente utilizá-la com um dos comandos:

```
python nome-do-arquivo
python3 nome-do-arquivo
```

Caso não tenha o *Python* instalado no *Linux*, basta executar o seguinte comando no terminal (distribuições Ubuntu):

```
sudo apt-get install python3
```

Isso já é o suficiente para possibilitar o uso da linguagem. Adicionalmente, será necessário a instalação do gerenciador de

pacotes do *Python*. Para instalá-lo, execute o código abaixo no terminal:

```
sudo apt - get install python3 - pip
```

2) *Python no Windows*: Para instalar o *Python* em uma máquina cujo sistema operacional é o *Windows*, acesse o site <https://www.python.org/>, navegue para a aba Downloads e baixe a versão mais recente disponível. Em seguida, basta executar o instalador e o *Python* estará integrado em sua máquina. Abra o terminal do *Windows* (*PowerShell* ou *CMD*) e execute o código com:

```
python ./nome - do - arquivo
```

No caso do *Windows*, o gerenciador de pacotes do *Python* já vem instalado, logo não é necessário instalá-lo separadamente.

C. Instalação das bibliotecas

O código desenvolvido usa algumas bibliotecas extras para poder facilitar a realização de operações matemáticas e também permitir o *plot* dos gráficos de resultado. Portanto, se faz necessário que essas bibliotecas sejam instaladas com o gerenciador de pacotes do *Python* (*pip*).

As bibliotecas usadas foram:

- *numpy* - usada para calculos matemáticos;
- *matplotlib* - usada para *plot* e animação do gráfico.

Para instalar essas bibliotecas execute os seguintes comandos em seu terminal *Linux* ou *Windows*:

```
pip3 install numpy
pip3 install matplotlib
```

Caso esteja usando uma versão anterior do *Python* execute:

```
pip install numpy
pip install matplotlib
```

É importante ressaltar que é extremamente recomendado a utilização de *Python3* para a execução do código e o funcionamento do mesmo não é garantido em versões anteriores.

Com isso é possível executar o código e observar os resultados obtidos.

D. Estrutura e explicação do código

Para a implementação do código com o algoritmo FDTD, inicialmente foi necessário definirmos os parâmetros e constantes que seriam utilizados em nossa linha de transmissão. Algumas das constantes são a velocidade da luz (c) e a velocidade de propagação na linha ($u_f = 0,9 \cdot c$).

Depois, estipulamos o tamanho da nossa linha (l_{max}). No momento estamos utilizando $10000m$ ($10km$), porém esse valor pode ser alterado se desejado. Além disso, é necessário denotar o número de divisões na linha, o qual definimos como K e atribuímos o valor 100.

Com esses dados podemos calcular os outros termos da nossa relação, tendo em mente o critério de estabilidade de (33) e também o tempo estacionário definido como $t_{est} =$

$10 \frac{l_{max}}{u_f}$, que representa 10 reflexões do sinal na linha. Para isso fazemos:

$$\Delta z = \frac{l_{max}}{K} \quad (36)$$

Com os valores de Δz e u_f calculamos Δt :

$$\Delta t = \frac{\Delta z}{u_f} \quad (37)$$

E, por fim, multiplicamos Δt por uma constante menor do que 1, no nosso caso 0,5, para garantir a estabilidade, pois a igualdade pode gerar um sistema instável.

$$\Delta t = \Delta t \cdot 0,5 \quad (38)$$

Tendo Δt definido, calculamos N , o número de divisões do tempo:

$$N = \text{int}\left(\frac{t_{est}}{\Delta t}\right) \quad (39)$$

O termo *int* denota a necessidade de N ser um número inteiro por se tratar de um número de divisões.

Com o critério de estabilidade definido, partimos para o cálculo dos elementos utilizados ao longo da linha, como a indutância e a capacitância. Por se tratar de uma linha sem perdas, esses termos podem ser calculados a partir dos dados do problema, levando em consideração:

$$Z_0 = \sqrt{\frac{L}{C}} \quad (40)$$

Sendo L o valor da indutância e C o valor da capacitância, e

$$u_f = \frac{1}{\sqrt{LC}} \quad (41)$$

Manipulando as equações 40 e 41, encontramos:

$$L = \frac{Z_0}{u_f} \quad (42)$$

$$C = \frac{1}{Z_0 u_f} \quad (43)$$

Com esses valores calculados podemos avançar para o código usado no cômputo dos valores de $i(z, t)$ e $v(z, t)$. É importante ressaltar que utilizamos uma adaptação do código mais teórico apresentado acima, para facilitar ambos cálculo e implementação, porém evitando erros da mesma forma.

Inicialmente, instanciamos as matrizes onde vamos guardar nossos resultados, sendo elas três, uma matriz V com dimensão (N, K) , uma matriz I com dimensão $(N, K - 1)$ e uma matriz para a variável auxiliar Va com dimensão (N, K) , lembrando que a dimensão (N, K) implica em uma matriz com índices de 0 a $N - 1$ e 0 a $K - 1$. Enfatizamos que a partir desse ponto a notação X_j^i será utilizada para denotar o valor de uma matriz X no ponto $n = i$ e $k = j$, ou seja é equivalente à $X[i, j]$.

Para evitar o uso de índices não inteiros (0,5) e melhorar o desempenho ao livrar-nos de algumas contas, definimos um deslocamento de índices sendo $n + 0,5$ como n e $k + 0,5$

como k ; criamos uma variável auxiliar para a tensão que denominamos Va e estipulamos:

$$Va_k^n = \frac{C\Delta z}{\Delta t} \cdot v_k^n \quad (44)$$

Com essas mudanças, já é possível aplicar o algoritmo modificado. Para começar, determinamos as condições de contorno para nosso problema, sendo que existem as condições de contorno gerais e uma específica para o caso de curto-circuito. Das gerais temos:

$$V_0^0 = \frac{Z_0}{R_s + Z_0} V_s(0) \quad (45)$$

$$I_0^0 = \frac{V_s(0)}{R_s + Z_0} \quad (46)$$

Nas equações (45) e (46) temos que V_s é a tensão da fonte escolhida para $t = 0$, Z_0 e R_s são a impedância característica da linha e a resistência interna da fonte, respectivamente, e são dados pelo enunciado do problema, assim como os valores para $V_s(t)$. Além destas condições, temos:

$$Va_k^0 = 0, \quad k = 1, \dots, K \quad (47)$$

$$I_k^0 = 0, \quad k = 1, \dots, K - 1 \quad (48)$$

Para $n > 0$ fazemos:

$$Va_0^n = (1 - \beta_1) Va_0^{n-1} - 2I_0^{n-1} + \frac{2}{R_s} V_s((n-1) \cdot \Delta t) \quad (49)$$

$$Va_{K-1}^n = (1 - \beta_2) Va_{K-1}^{n-1} + 2I_{K-2}^{n-1} \quad (50)$$

E, por fim, definimos as fórmulas das iterações:

$$Va_k^n = Va_k^{n-1} - (I_k^{n-1} - I_{k-1}^{n-1}), \quad k = 1, \dots, K - 2 \quad (51)$$

$$I_k^n = I_k^{n-1} - \beta_3 (Va_{k+1}^n - Va_k^n), \quad k = 0, \dots, K - 2 \quad (52)$$

Abaixo estão indicados os valores dos betas, constantes usadas nos cálculos das iterações:

$$\beta_1 = \frac{2\Delta t}{R_s C \Delta z} \quad (53)$$

$$\beta_2 = \frac{2\Delta t}{R_L C \Delta z} \quad (54)$$

$$\beta_3 = \frac{(\Delta t)^2}{LC(\Delta z)^2} \quad (55)$$

Com as definições acima podemos estruturar o código e computar os valores de $v(z, t)$ e $i(z, t)$ para os casos em que a resistência da carga tem valores inteiros diferentes de 0, inclusive o caso de circuito aberto (no qual a carga vale $R_L = \infty$); porém, para o caso em que o circuito se encontra em curto (carga $R_L = 0$), devemos fazer uma modificação na condição da equação 50 alterando-a para:

$$Va_{K-1}^n = 0 \quad (56)$$

A partir dessa última condição reestruturamos o código para o caso em que $R_L = 0$ e podemos então calcular os resultados da linha de transmissão para todos os casos requisitados pelo enunciado. Após o cômputo e preenchimento das matrizes de

resultado Va e I , retornamos os resultados da variável auxiliar para a tensão padrão, realizando, portanto, o processo inverso da equação 44:

$$V_k^n = \frac{\Delta t}{C\Delta z} Va_k^n \quad (57)$$

Dessa forma obtemos o valor das matrizes V e I e realizamos o *plot* em uma animação que mostra o valor de V e I para toda a reta Z em um tempo t que varia de acordo com a animação.

O código no qual implementamos o algoritmo pode ser encontrado no diretório do github a seguir:

<https://github.com/RodrigoValeretto/Trabalhos-Ondas/tree/master/Trab1-Ondas>

III. RESULTADOS E CONCLUSÃO

TABLE I
TRANSIENTES PARA $V_s = 2u(t)$ E $Z_L = 100 \Omega$

	Intervalos			
	$t < t_1$	$t_1 < t < t_2$	$t_2 < t < t_3$	$t \rightarrow \infty$
Tensão (V)	0,800	1,067	1,120	1,143
Corrente (A)	0,016	0,0107	0,0117	0,0114

TABLE II
TRANSIENTES PARA $V_s = 2u(t)$ E $Z_L = 0 \Omega$

	Intervalos			
	$t < t_1$	$t_1 < t < t_2$	$t_2 < t < t_3$	$t \rightarrow \infty$
Tensão (V)	0,800	0	-0,160	0
Corrente (A)	0,016	0,032	0,029	0,026

TABLE III
TRANSIENTES PARA $V_s = 2u(t)$ E $Z_L = \infty$

	Intervalos			
	$t < t_1$	$t_1 < t < t_2$	$t_2 < t < t_3$	$t \rightarrow \infty$
Tensão (V)	0,800	1,600	1,760	2,000
Corrente (A)	0,016	0	0,003	0

Analizando as tabelas I, II e III, que contém os valores teóricos esperados para as duas primeiras reflexões e para quando $t \rightarrow \infty$, obtidos através das equações de (13) a (21), e comparando com os valores da simulação, observa-se que, para o caso de $V_s = 2u(t)$, estão condizentes. É importante reforçar que pequenas variações entre os resultados são causados pela maior precisão do programa.

No entanto, se os cálculos forem feitos para o segundo valor de tensão do gerador, o mesmo não pode ser dito. Isso ocorre pois esse valor é, aproximadamente, um impulso. Logo, após uma série de reflexões, não há acúmulo de tensão e/ou corrente.

Para o caso $R_L = 100 \Omega$, o esperado é um pulso inicial de amplitude 0,4V, que ao refletir, assume momentaneamente a amplitude de 0,53V e depois decai, pois somente 0,13V são refletidos. No caso de $R_L = 0 \Omega$, após a primeira reflexão, não ocorre uma diminuição de amplitude, mas o pulso é invertido.

E para $R_L = \infty$, o pulso somente é refletido, não ocorrendo inversão.

Nesses dois últimos casos, a diminuição de amplitude ocorre somente no retorno à fonte. Por fim, para todos, a amplitude é continuamente reduzida a cada reflexão até estabilizar em $0V$. O mesmo pode ser dito para a corrente.

Portanto, conclui-se que a simulação, considerando os resultados teóricos, está correta. O projeto foi bem proveitoso para os discentes. Simular algo teórico e visualizar os resultados através de uma animação é bastante recompensador; além disso, o projeto ajudou a desmistificar o funcionamento do método DFDT e das linhas de transmissão. Esperamos que os próximos projetos sejam interessantes como esse.

REFERENCES

- [1] D. K. Cheng, "Field and Wave Electromagnetics", Pequim: Tsinghua University Press, 2a. ed., 2006.
- [2] M. N. O. Sadiku, "Elementos de Eletromagnetismo", Porto Alegre: Bookman, 3a. ed., 2004.
- [3] J. R. Nagel, "The Finite-Difference Time-Domain (FDTD) Algorithm", acesso através do link: <https://utah.instructure.com/courses/297816/assignments/1750259>.
- [4] H. A. Haus, J. R. Melcher, "Eletromagnetic Field and Energy", acesso através do link: https://web.mit.edu/6.01_book/www/.
- [5] D. B. Davidson, "Computational Eletromagnetics for RF and Microwave Engineering", Cambridge University Press, 2005.